

УДК 539.375

**ОБ ОДНОМ ВАРИАЦИОННОМ ПРИНЦИПЕ ОПИСАНИЯ
ПРЕДЕЛЬНЫХ ПРОЦЕССОВ НАГРУЖДЕНИЯ. 4. I**

ЗАВОЙЧИНСКИЙ Б. И.

Постулирование теорией длительной прочности А. А. Ильющина [1] функциональной зависимости между тензорами повреждений и напряжений служит основой при разработке теорий прочности, оценивающих опасность наиболее общих видов нагружения. Границы применимости этой теории несколько расширяются предположением о существовании функциональной связи между тензором повреждений и тензорами напряжений и деформаций одновременно, компоненты которых являются непериодическими функциями времени [2], а также построением одного из вариантов теории прочности для нагружений, описываемых функциями ограниченной вариации [3].

Излагаемая ниже теория привлекает линейные интегральные операторы в гильбертовом пространстве и вариационное исчисление для описания предельных процессов накопления повреждений в твердых телах под действием механического нагружения. Такой подход не противоречит термодинамике замкнутых равновесных систем [4].

1. Предельный процесс нагружения $y^* = y^*(t, x)$ — это такой процесс по $x \in [0, t]$, который приводит к достижению предельного состояния при $x = t$ (долговечность $t \in [0, t_0]$). Функция $y^* = y^*(t, x)$ описывает кривую прочности для данного процесса нагружения, отдельные точки которой имеют названия «предел статической прочности», «пределы ограниченной усталости», «предел выносливости», «предел длительной прочности» и т. п.

Предельное состояние изотропных материалов может характеризоваться появлением либо заданной плотности распределения микротрещин определенной длины, либо одной или нескольких макротрещин. В композициях под предельным состоянием дополнительно может пониматься разрушение дисперсной фазы, разрушение продольного или поперечного волокна, достижение текучести матрицы при разрушенном волокне и т. п.

Предельный процесс может быть представлен в виде $y^* = \mu(t)y(x)$. Основная задача предлагаемой теории состоит в нахождении предельного процесса нагружения $y^* = y^*(t, x)$ по заданному процессу нагружения $y = y(x)$.

Утверждение. Предельный процесс нагружения реализует минимум по времени целевого функционала

$$\min \{J(t, \tau) : \tau \in [0, t]\} = 1 \quad (1.1)$$

Для пластичных материалов

$$J(t, \tau) = \left(\lambda^+ |y^*(t, x)| - \left| \frac{1}{t} \int_0^t K^+(\tau, x) y^*(t, x) dx \right| \right) / y^*(t, \tau)^2 \quad (1.2)$$

для хрупких материалов

$$J(t, \tau) = \left(\lambda^- |y^*(t, x)| + \left| \frac{1}{t} \int_0^t K^-(\tau, x) y^*(t, x) dx \right| \right)^{-1} \quad (1.3)$$

где λ^+ , $\lambda^- = \text{const}$, $K^+(\tau, x)$ и $K^-(\tau, x)$ являются заданными функциями двух переменных.

Так как соотношения (1.2) и (1.3) являются однородными, функция $\mu = \mu(t)$ находится согласно (1.1) по следующему соотношению:

$$\mu(t) = \min \{ J(\tau) : \tau \in [0, t] \} \quad (1.4)$$

$$J(\tau) = \left(\lambda^+ |y(x)| - \left| \frac{1}{t} \int_0^t K^+(\tau, x) y(x) dx \right| \right) / y^2(\tau) \quad (1.5)$$

или

$$J(\tau) = \left(\lambda^- |y(x)| + \left| \frac{1}{t} \int_0^t K^-(\tau, x) y(x) dx \right| \right)^{-1} \quad (1.6)$$

Если процесс рассматривается в пространстве напряжений, то $y = \sigma(x)$; если же в пространстве деформаций — $y = \varepsilon(x)$.

В упругой области обе постановки (в напряжениях или деформациях) совпадают. Деформационная теория должна применяться при описании предельных процессов малых упругопластических деформаций.

2. Основой условий (1.5) и (1.6) является линейный интегральный оператор

$$\frac{1}{t} \int_0^t K(\tau, x) y(x) dx \quad (\tau \in [0, t]) \quad (2.1)$$

где $K(z, q)$ — положительно-определенное симметрическое ядро, $y(x)$ — действительная функция с интегрируемым квадратом, т. е. $\int_0^t y^2(x) dx \leq M^2$, $M = \text{const}$.

Согласно теореме о разложении ядер интегральных операторов вида (2.1), ядро $K(\tau, x)$ разлагается в ряд

$$K(\tau, x) = \sum_{i=0}^{\infty} \lambda_i^*(t) \varphi_i(\tau) \varphi_i(x) \quad (2.2)$$

который, согласно теореме Мерсера, сходится к $K(\tau, x)$ абсолютно и равномерно [5].

Здесь в качестве системы функций $\varphi_i = \varphi_i(x)$ ($i=1, 2, \dots, \infty$) следует выбрать полную ортогональную систему функций для интервала $[0, t]$, при этом

$$\varphi_i(x+mt) = \varphi_i(x) \quad (m=1, 2, \dots) \quad \int_0^t \varphi_i(x) \varphi_k(x) dx = \begin{cases} ta_k & \text{при } i=k \\ 0 & \text{при } i \neq k \end{cases}$$

Функция $y(x)$ также может быть разложена в ряд по этой системе функций

$$y(x) = \sum_{k=0}^{\infty} y_k \varphi_k(x), \quad y_k = \frac{1}{ta_k} \int_0^t y(x) \varphi_k(x) dx \quad (2.3)$$

Оператор в соотношениях (1.2) и (1.3) с учетом (2.2) и (2.3) записывается так:

$$\lambda |y(\tau)| - \left| \frac{1}{t} \int_0^t K(\tau, x) y(x) dx \right| = \lambda \left| \sum_{k=0}^{\infty} y_k \varphi_k(\tau) \right| - \left| \sum_{k=0}^{\infty} \lambda_k(t) y_k \varphi_k(\tau) \right| \quad (2.4)$$

При определении функций $\lambda_n(t)$ целесообразно исследовать предельные процессы вида $y^*(t, x) = y(n, t) \varphi_n(x)$, где $y(n, t)$ — функция, описывающая взаимосвязь пределов усталостной (длительной) прочности и времени разрушения для данного n процесса.

Согласно (1.4), (1.2), (1.3) и (2.4), собственные значения λ_n определяются по зависимостям

$$\lambda^+ - \lambda_n^+ = y(n, t), \quad \lambda^- + \lambda_n^- = 1 / y(n, t) \quad (n=0, 1, \dots) \quad (2.5)$$

Здесь учтено требование $\max \{\varphi_n(x) : \tau \in [0, t]\} = 1$. Таким образом, коэффициенты разложения ядра (2.2) описываются кривыми прочности для процессов, изменяющихся во времени по соответствующим собственным функциям.

В дальнейшем рассматривается ядро $K(x, x)$, для которого система собственных функций является системой тригонометрических функций

$$1, \cos 2\pi x / t, \sin 2\pi x / t, \dots, \cos n2\pi x / t, \sin n2\pi x / t \quad (2.6)$$

Если изучается периодический процесс с периодом T , т. е. $y = y(x+T) = y(x)$ и $t = NT$, то для его описания достаточно учитывать такие значения коэффициентов разложения:

$$y_n = \begin{cases} 0 & (n \neq mN; \quad m=0, 1, 2, \dots) \\ \frac{1}{T} \int_0^T y(z) \varphi_m(z) dz & (n=mN); \quad m=0, 1, 2, \dots \end{cases} \quad (2.7)$$

$$\varphi_n(\tau) |_{n=mN} = \varphi_m(\omega\tau) \quad (\omega = 2\pi / T) \quad y(n, t) = y_{-1}(t, mN) \\ (m=1, 2, \dots; \quad N=t/T)$$

Соотношения (1.5) и (1.6) с использованием (2.4) и (2.7) принимают следующий вид:

$$J(t, \tau) = \left| y(0, t) y_0 + \sum_{m=1}^{\infty} y_{-1}(t, mN) y_m \varphi_m(\tau) \right| / y^2(\tau) \quad (2.8)$$

$$J(t, \tau) = 1 / \left| y_0 / y(0, t) + \sum_{m=1}^{\infty} y_m \varphi_m(\tau) / y_{-1}(t, mN) \right|. \quad (2.9)$$

$$y_m = \frac{1}{T} \int_0^T y(z) \varphi_m(z) dz$$

При изучении предельных процессов одноосного нагружения элементов, имеющих отверстия, выточки, галтели или другие геометрические концентраторы, возможно с достаточной для практики точностью применение условия (2.9), в котором функции $y(0, t)$ и $y_{-1}(t, mN)$ описывают кривые длительной и циклической прочности данных элементов.

3. Для асимметричного (одночастотного) процесса нагружения

$$y = y_m + y_{a,1} \sin 2\pi \omega_1 x \quad (x \in [0, t]) \quad (3.1)$$

взаимосвязь между предельными амплитудой напряжений, средним напряжением и долговечностью на основе соотношений (1.4), (2.8) и (3.1) имеет вид

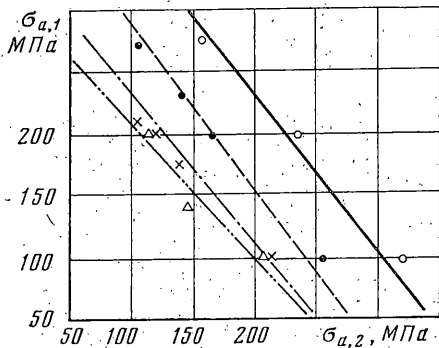
$$y_{a,1}^* = y_{-1}(t, \omega_1 t) / 2 - y_m^* + [(y_{-1}(t, \omega_1 t) / 2)^2 - y_{-1}(t, \omega_1 t) y_m^* + y_m^* y(0, t)]^{0,5} \quad (3.2)$$

а на основе соотношений (1.4), (2.9) и (3.1):

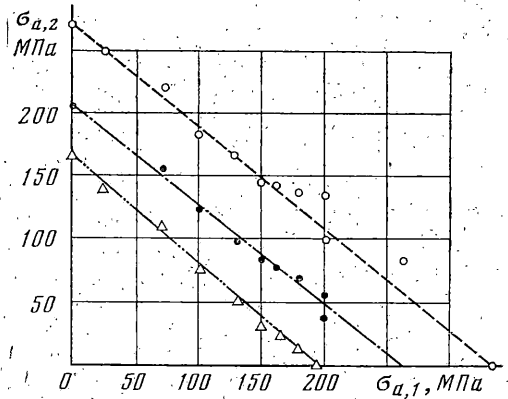
$$y_{a,1}^* / y_{-1}(t, \omega_1 t) = 1 - y_m^* / y(0, t) \quad (3.3)$$

Зависимость (3.2) удовлетворительно описывает экспериментальные данные по выносливости и ограниченной усталости коррозионно-стойких сталей и легированной конструкционной стали [6], серого чугуна при $y_m^* < 0$ [7], некоторых других металлов и сплавов [8], армированных композитов, у которых матричная фаза — эпоксидная смола, дисперсная фаза — борволокно, углеродное волокно и стекловолокно [9].

Зависимость (3.3), записанная в напряжениях, называется формулой Гудмана при $y(0, t) = \sigma_b$; $y_{-1}(t, \omega_1 t) = \sigma_{-1}$, формулой Зодерберга при $y(0, t) = \sigma_s$, критерием Морроу при $y(0, t) = \sigma_u$, $y_{-1}(t, \omega_1 t) = \sigma_{cr}$, формулой



Фиг. 1



Фиг. 2

Серенсена — Кинасошвили при $y(0, t) = \sigma_0 \sigma_1 (2\sigma_{-1} - \sigma_0)$. Здесь σ_0 , σ_{-1} — пределы ограниченной усталости при пульсирующем и симметричном нагружении соответственно, σ_b — временное сопротивление, σ_s — предел текучести, σ_u — истинное напряжение при статическом разрушении.

Зависимость (3.3) удовлетворительно описывает экспериментальные данные по выносливости низколегированных и аустенитных сталей [10], серого чугуна при $y_m^* > 0$ [7] и некоторых композитных материалов [9].

4. Двухчастотный процесс описывается зависимостью

$$y = y_m + y_{a,1} \sin 2\pi\omega_1 x + y_{a,2} \sin 2\pi\omega_2 x \quad (x \in [0, t]) \quad (4.1)$$

При условии $\omega_2 = (4m-1)\omega_1$ ($m=1, 2, \dots$) соотношения (1.4), (2.9) и (4.1) преобразуются к виду

$$y_m^*/y(0, t) + y_{a,1}^*/y_{-1}(t, \omega_1 t) + y_{a,2}^*/y_{-1}(t, \omega_2 t) = 1 \quad (4.2)$$

а (1.4), (2.8) и (4.1) — к виду

$$y_m^* y(0, t) + y_{a,1}^* y_{-1}(t, \omega_1 t) + y_{a,2}^* y_{-1}(t, \omega_2 t) = (y_m^* + y_{a,1}^* + y_{a,2}^*)^2 \quad (4.3)$$

Для случая $y_m^* = 0$ соотношение (4.3) линеаризуется при сохранении достаточно высокой точности и совпадает с (4.2).

Мультипликативное нагружение описывается уравнением

$$y = y_m + (y_{a,1} + y_{a,2} \sin 2\pi\omega_2 t) \sin 2\pi\omega_1 t \quad (4.4)$$

При $\omega_2 \gg \omega_1$ предельное условие описывается зависимостью (4.2) или (4.3), а при $\omega_1 \gg \omega_2$ — этими же зависимостями, в которых вместо $y_{-1}(t, \omega_2 t)$ подставлено $y_{-1}(t, \omega_1 t)$.

Проведено сопоставление теоретических результатов, полученных с использованием соотношений (4.2), (4.3), и результатов эксперимента по циклической и повторно-статической прочности различных металлов и сплавов при двухчастотном нагружении и деформировании [7–16].

Установлено соответствие теоретических (по зависимости (4.2)) и экспериментальных значений предельных амплитуд для различных сталей при двухчастотном нагружении [11–13] в диапазоне чисел циклов до разрушения $N_1 \in [5 \cdot 10^4, 2 \cdot 10^6]$. Различие же превосходит 5%.

В качестве примера на фиг. 1 в координатах $\sigma_{a,1}^* \sim \sigma_{a,2}^*$ представлены экспериментальные и теоретические значения предельных амплитуд напряжений для основного металла [12] при некоторых значениях $N_1 = \omega_1 t$ (○ — $N_1 = 2,5 \cdot 10^3$; ● — $2,5 \cdot 10^4$; × — $2,5 \cdot 10^5$; Δ — ... — 10^7 циклов).

Анализ циклической прочности при двухчастотном нагружении стальных и алюминиевых образцов с U- и V-образными выточками ($k_i = 1,7$ и $k_i = 3$ соответственно) [14–16], стальных образцов с напрессованной втулкой [17] и алюминиевых образцов с отверстием [18] проводился с помощью соотношения (4.2), в котором $y_{-1} = y_{-1}(t, \omega t)$ является функцией, описывающей кривую ограниченной усталости для элемента с соответствующим концентратором.

В качестве примера на фиг. 2 представлена взаимосвязь $\sigma_{a,1}^* \sim \sigma_{a,2}^*$ (МПа) для образцов с U-образной выточкой [15] при $N_1 \in [2 \cdot 10^4, 5 \cdot 10^5]$ циклов (○ — $2 \cdot 10^4$; ● — 10^5 ; Δ — $5 \cdot 10^5$ циклов).

Различие между теоретическими и экспериментальными величинами предельных амплитуд также не превосходит 5%.

5. При исследовании непериодических предельных процессов необходимо знание функции $y(n, t)$ для диапазона частот $n \in [0, \infty]$. Соответствующие экспериментальные данные известны только для ограниченного диапазона n . Поэтому прогноз по (1.4)–(1.6), (2.4), (2.5) будет в некоторой степени зависеть от выбранной экстраполяции для этой функции.

Другой путь состоит в определении интеграла вида

$$\frac{1}{t} \int_0^t K(z, x) \varphi_h(x) dx \quad (t_1 \in [0, t])$$

С этой целью рассматривается предельное нагружение

$$y^*(t, x) = y^* \left(\frac{t_1}{t}, k \right) \varphi_h(x) [h(x) - h(x - t_1)] + y^* \left(\frac{t_1}{t}, k \right) h(x - t) \quad (5.1)$$

$$h(z) = \begin{cases} 0 & z < 0 \\ 1 & z \geq 0 \end{cases}, \quad \varphi_h(t_1) = 0$$

Согласно (1.4), (1.6), получается выражение для интеграла

$$\frac{1}{t} \int_0^t K^-(t, x) \varphi_h(x) dx = 1/y^* \left(\frac{t_1}{t}, k \right) - \lambda^- \quad (5.2)$$

а согласно (1.4), (1.5) — выражение

$$\frac{1}{t} \int_0^t K^+(t, x) \varphi_h(x) dx = \lambda^+ - y^* \left(\frac{t_1}{t}, k \right) \quad (5.3)$$

Нагружению вида ($y_n \geq y_r$)

$$y(x) = \varphi_h(x) \sum_{i=1}^n y_i [h(x - x_{i-1}) - h(x - x_i)] \quad (5.4)$$

при условии $\varphi_h(x_{i-1}) = \varphi_h(x_i) = 0$, $\varphi_h(t) = 1$ соответствует взаимосвязь предельных параметров процесса либо по (1.4), (1.6), (5.2) в виде

$$\lambda^{-} y_n^{*+} + \sum_{i=1}^n y_i^{*} (y^{*}(t_i/t, k)^{-1} - y^{*}(t_{i-1}/t, k)) = 1 \quad (5.5)$$

либо по (1.4), (1.5), (5.3) в виде

$$\lambda^{+}/y_n^{*+} - \sum_{i=1}^n (y_i^{*}/y_n^{*+}) \left[y^{*} \left(\frac{t_{i-1}}{t}, k \right) - y^{*} \left(\frac{t_i}{t}, k \right) \right] = 1 \quad (5.6)$$

При практических расчетах применялась аппроксимация

$$y^{*}(z, k) / \lambda^{+} = 1 - r + (r^2 - z^2)^{0,5} \quad (5.7)$$

$$r = [1 + (1 - y_{-1}(t, k) / \lambda^{+})^2] / 2(1 - y_{-1}(t, k) / \lambda^{+})$$

С помощью соотношений (5.5)–(5.7) проведен анализ экспериментальных данных по накоплению повреждений при ступенчатом изменении напряжений в условиях ползучести [19], при ступенчатом изменении амплитуд напряжений в условиях симметричного циклического нагружения [20], при ступенчатом изменении амплитуд деформаций в условиях симметричного циклического деформирования [21] и некоторых других программных, в том числе блочных, нагружений.

Установлено удовлетворительное соответствие между теорией и экспериментом. В 90% случаев значения левой части соотношений (5.5) или (5.6) находились в интервале [0,95; 1,05], в остальных случаях — в интервале [0,85; 1,15].

Автор искренне благодарен А. А. Ильюшину за внимание к работе и полезные обсуждения.

ЛИТЕРАТУРА

1. Ильюшин А. А. Об одной теории длительной прочности. — Инж. ж. МГТ, 1967, № 3, с. 21–35.
2. Завойчинский Б. И. Об одном обобщении линейной теории накопления повреждений А. А. Ильюшина. — Изв. АН СССР. МГТ, 1973, № 3, с. 53–57.
3. Завойчинский Б. И. Линейная теория прочности при переменном нагружении. — Упругость и неупругость: Сб. статей. М.: Изд-во МГУ, 1978, вып. 5, с. 17–18.
4. Ильюшин А. А. Механика сплошной среды. М.: Изд-во МГУ, 1978. 287 с.
5. Петровский И. Г. Лекции по теории интегральных уравнений. М.: Наука, 1965. 127 с.
6. Мустафин Ч. Г. К определению предела выносливости деталей с концентраторами напряжений при асимметричном цикле. — Проблемы прочности, 1978, № 11, с. 34–38.
7. Хейвуд Р. Б. Проектирование с учетом усталости. М.: Машиностроение, 1969. 504 с.
8. Форрест П. Усталость металлов. М.: 1968. 354 с.
9. Фудзии Т., Дзаю М. Механика разрушения композиционных материалов. М.: Мир, 1982. 232 с.
10. Кузьменко В. А., Ищенко И. И. и др. Влияние частоты нагружения, температуры и асимметрии цикла на выносливость теплоустойчивых сталей 1X2M и X18H9. — Проблемы прочности, 1981, № 2, с. 30–36.
11. Locati L. Essais de fatigue par flexion avec fréquences superposees. — In: Proc. Colloquium Fatigue, 1955. Symp. IUTAM. Stockholm, 1955. В.: Springer, 1956, p. 160–168.
12. Jamada T., Kitagawa Sh. Investigation of Fatigue Strength of Metals under Actual Service Loads. — Bull. ISME, 1967, v. 10, No. 38, p. 245–252.
13. Буглов Е. Г., Коликов Э. А., Филатов М. Н. Исследование усталости стали при бигармоническом нагружении. — Проблемы прочности, 1970, № 1, с. 46–49.
14. Tanaka T. Effect of the Superimposed Stress of High Frequency on Fatigue Strength. — Bull. ISME, 1968, v. 11, No. 43, p. 71–83.
15. Tanaka T., Denoh Sh. Notch Dependency of the Effect of Superimposed Stress of High Frequency on the Fatigue Strength. — Bull. ISME, 1971, v. 14, No. 77, p. 1439–1448.
16. Tanaka T., Denoh Sh. Fatigue under Superimposed Stress Patterns. — Soc. Mater. Sci. Japan, 1970, v. 19, No. 202, p. 629–634.

17. *Зайцев Г. Э., Яценко В. К.* Влияние концентрации напряжений на сопротивление усталости стали при двухчастотном нагружении.— Заводск. лаборатория, 1977, № 11, с. 1398—1401.
18. *Tanaka T., Denoh Sh.* The Effect of Superimposed Stress of High Frequency on the Fatigue Strength of Aluminum Alloy.— Soc. Mater. Sci. Japan, 1968, v. 17, No. 173, p. 188—194.
19. *Abo el Ata M. M., Finnie J.* A Study of Creep Damage Rules.— Trans. ASME. Ser. D. J. Bas. Engng., 1972, v. 94, № 3.— Рус. перев.: Теорет. основы инженерных расчетов. Сер. Д, 1972, т. 94, № 3, с. 21—32.
20. *Srivatsavan R., Subramanyan S. A.* Cumulative Damage Rule Based on Successive Reduction in Fatigue Simit.— Trans. ASME. J. Engng. math. Tech., 1978, v. 100, № 2.— Рус. перев.: Теорет. основы инженерных расчетов. Сер. Д, 1978, т. 100, № 2, с. 108—110.
21. *Bernard-Connoly M., Bui-Quos T., Biron A.* Multilevel Strain Controlled Fatigue on a Type 304 Stainless Steel.— Trans. ASME. J. Engng. math. Tech., 1983, v. 105, p. 188—194.

Москва

Поступила в редакцию
19.IV.1982